

## РАЗРАБОТКА МАТЕМАТИЧЕСКОЙ МОДЕЛИ ЛЕНТОЧНОГО КОНВЕЙЕРА

Сердюк А.А. докт. тех. наук., проф., Степаненко И.В. аспирант,

Национальная горная академия Украины,

Калашников О.Ю. гл. конструктор отдела КПО АО НКМЗ

*Составлена математическая модель ленточного конвейера с учетом вязкоупругого поведения тяговых лент и футеровки приводного барабана.*

*Formed mathematical band pipeline model with provision for viscous - springy announcing the tractive tapes and arms of drive drum.*

В настоящее время, несмотря на рост уровня использования локомотивной откатки, основным видом транспорта (по наклонным горным выработкам шахт) является применение ленточных конвейеров. Повышение производительности и надежности конвейерного транспорта является неотложной задачей.

Увеличение коэффициента сцепления до 0,6 - 0,7 позволит использовать ленточные конвейеры на тяжелых профилях пути с уклоном, существенно уменьшить транспортные расходы при проведении подготовительных и вспомогательных выработок, транспортировке угля.

Для механической системы, содержащей в разных плоскостях наклонно расположенные упруговязкие ленты, которые замыкаются со сторон и объединены между собой присоединенными к ним массами, расположенными вдоль лент, методом кинетостатики в переходном режиме найдены усилия в ветвях лент, которые состоят из усилий упругости сухого трения и вязкого сопротивления. Такая система реально отображает кругонаклонный конвейер, предназначенный для транспортировки сыпучего груза под большими углами наклона. Рассматриваемая механическая система может быть представлена моделью, в которой упруговязкие связи размещенные дискретно связывают присоединенные массы транспортируемого груза с кулоновым трением. Такая механическая система рассматривается как существенно нелинейная. В результате численного решения для различных значений параметров, описывающих кинематику и динамику этой системы полученные графические изображения изменений

удельных усилий в ветвях системы и сил трения между грузом и основной лентой. Получены зависимости для свободных колебаний, пуска и торможения крутонаклонного конвейера.

На основании анализа численного решения установлено, что в реальном диапазоне задаваемых параметров системы последняя ведет себя как система с одной степенью свободы, для которой на декремент затухания и частоты колебаний существенное влияние имеет сопротивление перемещения ветвей лент и силы трения между массой и основной лентой; увеличение коэффициента жесткости прижимной ленты, расположенных со сторон основной ленты, приводят к заметному увеличению максимальных и амплитудных удельных усилий в этой ленте и уменьшению их в основной ленте.

Отсутствие учета вязкого сопротивления материала лент увеличивает общую длительность колебания массы на поверхности основной ленты, которая увеличивает максимальное значение удельного усилия и общую длительность колебательного процесса.

Для повышения устойчивости и предотвращения схода конвейерной ленты предлагается использование приводного барабана ШЛК с футеровкой секционного типа с наклонными ламелями. Процесс взаимодействия футеровки секционного типа приводного барабана с конвейерной лентой описывается методами аналитической механики и механики сплошной среды. Исследованию приводных барабанов с футеровкой из низкомодульного материала посвящено ограниченное число работ.

Для рассмотрения большинства аспектов взаимодействия конвейерной ленты с футеровкой секционного типа приводного барабана разработана математическая модель привода шахтного ленточного конвейера.

Для прогнозирования поведения футерованного барабана при взаимодействии с лентой необходимо использовать математическую модель, описывающую контактное взаимодействие ламели резиновой футеровки и ленты.

При теоретическом исследовании контакта ламели футеровки приводного барабана и ленты использована геометрически и физически нелинейная модель сплошной среды, учитывающая нелинейность материала, наличие больших деформаций порядка 50% и трения между конвейерной лентой и приводным барабаном. При взаимодействии ламели футеровки с лентой реализуется плоское напряженное состояние. Плоская модель сплошной среды построена методом физи-

ческой дискретизации, идея которого состоит в разбиении исходной физической модели на элементы, в отличие от метода конечных элементов, построенном на математической дискретизации, т. е. дискретизации уравнений, описывающих поведение системы. Преимущество метода физической дискретизации состоит в более быстром получении результата при довольно высокой точности.

Футеровка приводного барабана заменяется моделью, состоящей из сосредоточенных масс, равных массе заштрихованной части футеровки,

$$m_{ij} = \frac{m_c}{N \cdot M} \quad (i = \overline{1, N}; j = \overline{1, M}),$$

соединённых безмассными пружинами, имитирующими плоскую сплошную среду.

Соответствующие коэффициенты жесткости пружин определяются по формулам:

$$C_{rj} = \frac{1}{M} 2\pi E R_j b;$$

$$C_{\varphi j} = \frac{1}{N} Eb(R_j - R_{j-1})$$

$$C_{r\varphi j} = \frac{1}{2M} \pi G R_j b,$$

где  $E, G, R_j, N, M, b$  – модули упругости первого и второго рода, текущий радиус слоя футеровки, число звеньев модели в радиальном и окружном направлениях, ширина ленты, соответственно.

Коэффициенты жесткости пружин  $C_{rj}, C_{\varphi j}, C_{r\varphi j}$  находят из решения задачи деформирования слоя футеровки, при котором реализуется напряжённо-деформированное состояние с чистым растяжением-сжатием, соответственно. При этом поведение модели должно описывать напряжённо-деформируемое состояние слоя футеровки, рассчитанное в рамках теории упругости с учётом нелинейности соотношения напряжение-деформация. Коэффициенты жесткости  $C_{rj}$  находят из условия приложения гидростатического давления к слою футеровки без жесткого центра, коэффициенты  $C_{\varphi j}$  – из гидростатического сжатия на жестком центре,  $C_{r\varphi j}$  – из закручивания слоя на жестком центре.

Число степеней свободы полученной системы, при условии что массы могут совершать движения в плоскости рисунка, равно  $2NM$ .

Для численного решения задачи (о напряженно-деформированном состоянии) необходимо получить систему дифференциальных уравнений движения модели и проинтегрировать её (численно). Уравнения движения системы, получим, используя уравнение Лагранжа 2-го рода.

При определении потенциальной энергии системы принимали, что поведение материала футеровки при деформировании подчиняется закону

$$\sigma = E \left( \frac{\varepsilon^3}{\varepsilon_0} \right),$$

где  $\varepsilon_0$  – характеристика нелинейности материала.

Подставляя выражения потенциальной и кинетической энергии системы и в уравнения Лагранжа второго рода, получим систему уравнений, описывающих деформирование футеровки

$$m_{ij}\ddot{x}_{ij} + C_{rj} \left( \frac{\Delta_{rij} - \Delta_{rij}^0}{\Delta_{rij}^0 \delta_0} \right)^3 \frac{(x_{ij} - x_{ij-1})}{\Delta_{rij}} + C_{rgj} \left( \frac{\Delta_{r\varphi j} - \Delta_{r\varphi j}^0}{\Delta_{r\varphi j}^0 \varepsilon_0} \right)^3 \frac{(x_{ij} - x_{i-1,j-1})}{\Delta_{r\varphi j}} + \\ + C_{\varphi j} \left( \frac{\Delta_{\varphi j} - \Delta_{\varphi j}^0}{\Delta_{\varphi j}^0 \varepsilon_0} \right)^3 \frac{(x_{ij} - x_{i-1,j-1})}{\Delta_{\varphi j}} = Q_{xij}, x \rightarrow y, i = \overline{1, M}; j = \overline{1, N}.$$

Решение системы будем отыскивать при граничных и начальных условиях, отражающих взаимодействие слоя футеровки на жестком центре с прямолинейной абсолютно жесткой лентой при наличии трения, описываемого законом Кулона.

Граничные условия:

на границе контакта футеровки с лентой при условии проскальзывания материала футеровки относительно ленты:

$$Q_{xiN} = k Q_{yiN} \operatorname{sign}(\dot{x}_{iN}); i = \overline{1, M},$$

где  $k$  – коэффициент трения материала футеровки и ленты;

на границе контакта футеровки и жесткого барабанного центра

$$x_{i1} = R_1 \cos\left(\frac{2\pi i}{M}\right); y_{i1} = R_1 \sin\left(\frac{2\pi i}{M}\right); i = \overline{1, M}.$$

Начальные условия:

При  $t = 0$

$$x_{ij} = R_j \cos\left(\frac{2\pi i}{M}\right); y_{ij} = R_j \sin\left(\frac{2\pi i}{M}\right);$$

$$\dot{x}_{ij} = 0; \dot{y}_{ij} = v_0; i = \overline{1, M}; j = \overline{1, N},$$

где  $v_0$  – скорость сближения приводного барабана и ленты, м.

Интегрирование системы уравнений проведено модифицированным методом Эйлера, имеющим второй порядок аппроксимации.

$$\dot{x}_{ij}^{(k+\frac{1}{2})} = \dot{x}_{ij}^{(k-\frac{1}{2})} + \ddot{x}_{ij}^{(k)} \Delta t; x_{ij}^{(k+1)} = x_{ij}^{(k)} + \dot{x}_{ij}^{(k+\frac{1}{2})} \Delta t;$$

$$x \rightarrow y; i = \overline{1, M}; j = \overline{1, N},$$

где  $k, \Delta t$  – номер и величина шага по времени.

Величина шага по времени выбрана из условия устойчивости по Куранту, шаг интегрирования должен быть меньше времени распространения возмущения в материале футеровки вдоль наименьшего элемента

$$\Delta t < \frac{\min(\Delta_{rij}; \Delta_{\varphi ij}; \Delta_{r\varphi ij})}{c},$$

где  $c$  – скорость звука в резине.

Результаты расчета представлены на граф. 1, кривая 1 – для барабана, футерованного резиной с модулем упругости  $E = 1 \text{ МН/м}^2$ , кривая 2 – для барабана, футерованного резиной с модулем упругости  $E = 4 \text{ МН/м}^2$ . Результаты, полученные теоретически, сравнивали с результатами экспериментов, по которым построена кривая 3 – для футерованного барабана с армированием резины марки 090822 синтетическим кордом, и кривая 4 – для барабана, футерованного слоем резины марки 4и8387.

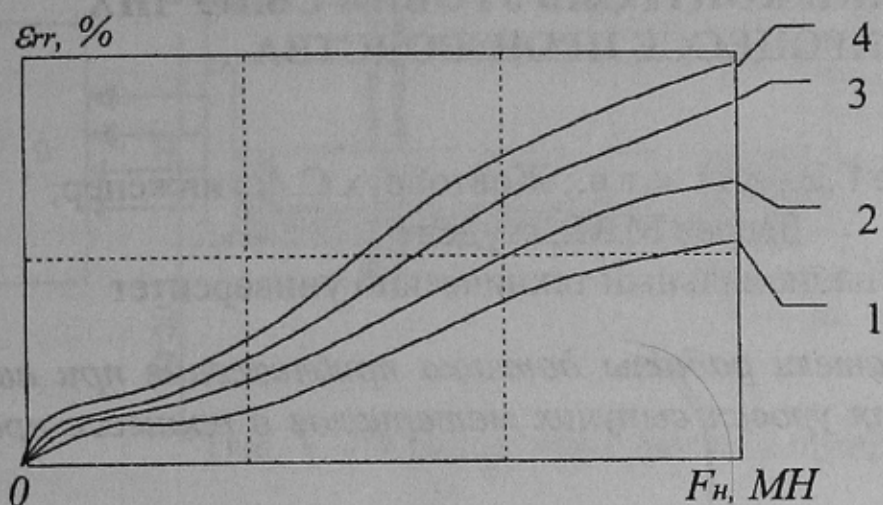


График 1 – Зависимость деформаций от модуля упругости материала футеровки и натяжения ленты.

Моделирование взаимодействия футерованного барабана и ленты методом физической дискретизации удовлетворительно описывает контактное взаимодействие барабана и ленты при больших деформациях, значительной нелинейности механической характеристики материала футеровки, а также несжимаемости резины при сжатии.

#### Список источников.

1. Мишин В.В., Сердюк А.А. О качении цилиндра, футерованного несжимаемым упругим материалом // Известия вузов. Машиностроение. - 1989. - №8. - С. 30 – 36.
2. Мишин В.В., Сердюк А.А. Об оценке теплового режима футеровки колеса шахтного локомотива // Проблемы машиноведения и надежности машин. – 1990. - №3. – С. 67 – 75.